

УДК 621.313.333.2

ДОПОЛНИТЕЛЬНЫЙ ТЕПЛОВОЙ ИЗНОС ИЗОЛЯЦИИ АСИНХРОННОГО ЭЛЕКТРОДВИГАТЕЛЯ В ПОСЛЕПУСКОВОЙ ПЕРИОД

Овчаров С.В., к.т.н.

Стребков А.А., инженер*.

Таврический государственный агротехнологический университет

тел. (0619)42-32-63

Аннотация – исследован дополнительный тепловой износ изоляции асинхронного электродвигателя в послепусковой период в функции режимных параметров.

Ключевые слова – тепловой износ изоляции, послепусковой период, кратность загрузки рабочей машины, температура окружающей среды, кратность напряжения на зажимах электродвигателя.

Постановка проблемы. В послепусковой период в условиях соизмеримой мощности изоляция асинхронных электродвигателей подвергается дополнительному износу. Величина дополнительного теплового износа изоляции в послепусковой период зависит от многих режимных параметров при пуске электродвигателя и в период его остановления: отношения момента инерции системы «электродвигатель - рабочая машина» к номинальному моменту электродвигателя, кратности загрузки рабочей машины, температуры окружающей среды, кратности напряжения на зажимах электродвигателя.

Анализ последних достижений. В работе [1] найдена зависимость дополнительного теплового износа изоляции в функции отношения момента инерции системы «электродвигатель - рабочая машина» к номинальному моменту электродвигателя, однако не учтены при этом режимные параметры.

Формулировка целей статьи. Поэтому целью статьи является исследование дополнительного расхода ресурса изоляции асинхронного электродвигателя в послепусковой период в функции режимных параметров.

Основная часть. Учитывая сравнительную скоротечность процесса нагрева обмотки при пуске, можно принять, что обмотка дости-

* Научный руководитель: д.т.н. Овчаров В.В.

© к.т.н. Овчаров С.В., инженер Стребков А.А.

гает максимального превышения температуры в момент времени $t = 0$. В послепусковой период охлаждения обмотки до номинального значения скорость изменения температуры будет небольшой в соответствии с кривой охлаждения

$$\tau = \tau_h \left(1 - e^{-\frac{t}{T}} \right) + \tau_m e^{-\frac{t}{T}}, \quad (1)$$

где τ – текущее превышение температуры обмотки, $^{\circ}\text{C}$;

t – текущее время, с;

τ_h – номинальное превышение температуры обмотки, $^{\circ}\text{C}$;

T – постоянная времени нагрева электродвигателя, с;

τ_m – максимальное превышение температуры обмотки в конце пуска, $^{\circ}\text{C}$.

Представим графики остывания обмотки электродвигателя (рис. 1) и скорости теплового износа изоляции в послепусковой период (рис. 2).

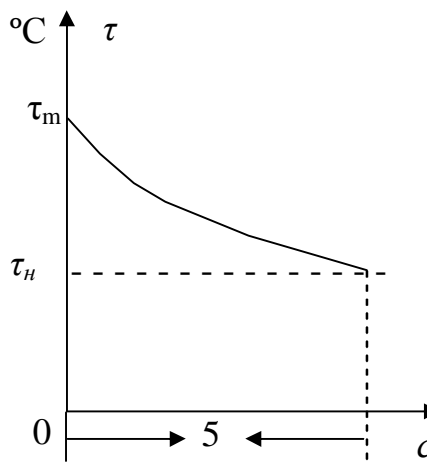


Рис. 1

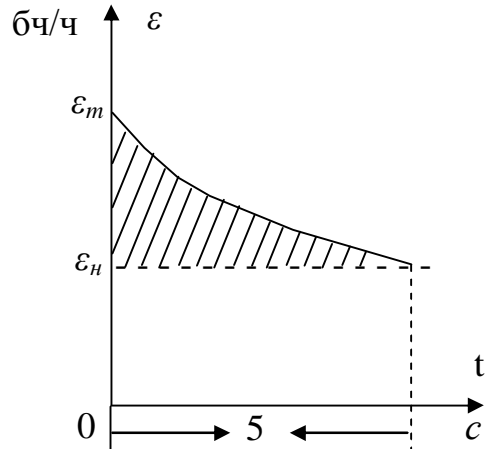


Рис. 2

Дополнительный тепловой износ изоляции в послепусковой период происходит на интервале времени от нуля до $5T$ и может быть найден по выражению

$$E_{don} = \int_0^{5T} \varepsilon dt - 5T\varepsilon_h, \quad (2)$$

где ε – скорость теплового износа изоляции в послепусковой период опишется выражением

$$\varepsilon = \varepsilon_h e^{B \left(\frac{1}{\Theta_h} - \frac{1}{\tau_h (1 - e^{-t/T}) + \tau_m e^{-t/T} + \theta_{cp} + 273} \right)}, \quad (3)$$

где ε – текущая скорость теплового износа изоляции, бач/ч;

ε_h – номинальная скорость теплового износа изоляции, бач/ч;

B – параметр, характеризующий класс изоляции, К;

Θ_h – абсолютная номинальная температура изоляции, К;
 ϑ_{cp} – температура окружающей среды, °С.

Исследуем зависимость дополнительного теплового износа изоляции обмотки при заданном максимальном превышении температуры обмотки и известном значении постоянной времени нагрева электродвигателя типоразмера 4А100S2УЗ, для которого $T = 1840$ с. Принимаем $\vartheta_{cp} = 40$ °С. Изоляция класса В указанного электродвигателя характеризуется следующими параметрами: $B = 10200$ К, $Q_h = 403$ К, $\tau_h = 90$ °С, $\varepsilon_h = 1$ бч/ч. Разбиваем зависимость $\varepsilon = f(t)$ на 50 участков. Принимаем длительность каждого участка $t_i = 184$ с. Тогда $t_i/T = 0,1$.

Введём обозначение: $e^{-\frac{t_i}{T}} = \varepsilon$. Находим значение $\varepsilon = 0,9$. Тогда превышение температуры обмотки на i -ом участке равно

$$\tau_i = \tau_h(1 - \varepsilon) + \tau_{i-1}\varepsilon \quad (4)$$

Для первого участка

$$\tau_1 = \tau_h(1 - \varepsilon) + \tau_m\varepsilon, \quad (5)$$

максимальное превышение температуры обмотки в конце пуска, принимаем равным 164,6 °С. [1]

Для второго участка

$$\tau_2 = \tau_h(1 - \varepsilon) + \tau_1\varepsilon \quad (6)$$

и так далее.

Для указанного электродвигателя:

$$\tau_i = 9 + 0,9\tau_{i-1}. \quad (7)$$

Расчет дополнительного теплового износа изоляции проведем для электродвигателя типоразмера 4А100S2УЗ, со следующими катализовыми данными: $P_{2h} = 4$ кВт; $\eta_h = 0,865$; $\cos\varphi_h = 0,89$; $R_1 = 1,509$ Ом; $X_1 = 1,537$ Ом; $R_2 = 1,006$ Ом, $X_2 = 2,767$ Ом; $R_1 = 1,485$ Ом; $X_1 = 1,513$ Ом, $X_\mu = 95$ Ом; $U_h = 220$ В; $s_h = 0,033$; $s_k = 0,28$; $s_M = 0,8$; $\mu_{nn} = 2,0$; $\mu_{mn} = 1,6$; $\mu_{kn} = 2,5$, при следующих параметрах: $k_{u1} = 0,9$; $k_3 = 1$; $I/M_h = 0,08$ с²; $\vartheta_{cp} = 40$ °С; $\tau_{nac} = 0$ °С.

Исследуем зависимость дополнительного теплового износа изоляции в послепусковой период в функции температуры окружающей среды, то есть $E_{don} = f(\vartheta_{cp})$ при $\kappa_{u1} = 0,9 \div 0,96$. Результаты расчетов представляем на рис. 3.

Исследуем зависимость дополнительного теплового износа изоляции в послепусковой период в функции коэффициента загрузки, то есть $E_{don} = f(\kappa_3)$ при $\kappa_{u1} = 0,9 \div 0,96$. Результаты расчетов представляем на рис. 4.

Исследуем зависимость дополнительного теплового износа изоляции в послепусковой период в функции температуры окружающей среды, то есть $E_{don} = f(\vartheta_{cp})$ при $\kappa_3 = 0,9 \div 1$. Результаты расчетов представляем на рис. 5.
 бч E_{don}

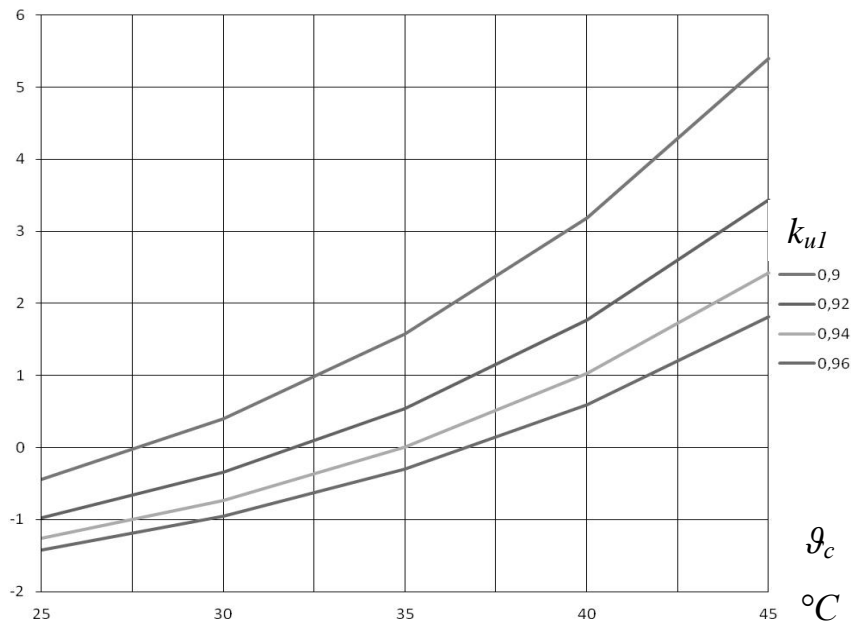


Рис. 3. Залежність $E_{don} = f(g_{cp})$ при $\kappa_{u1} = 0,9 \div 0,96$.

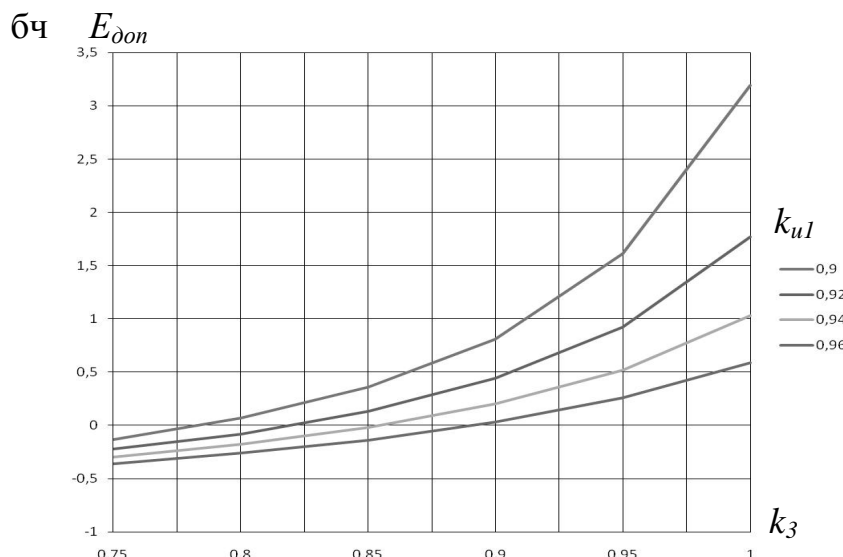
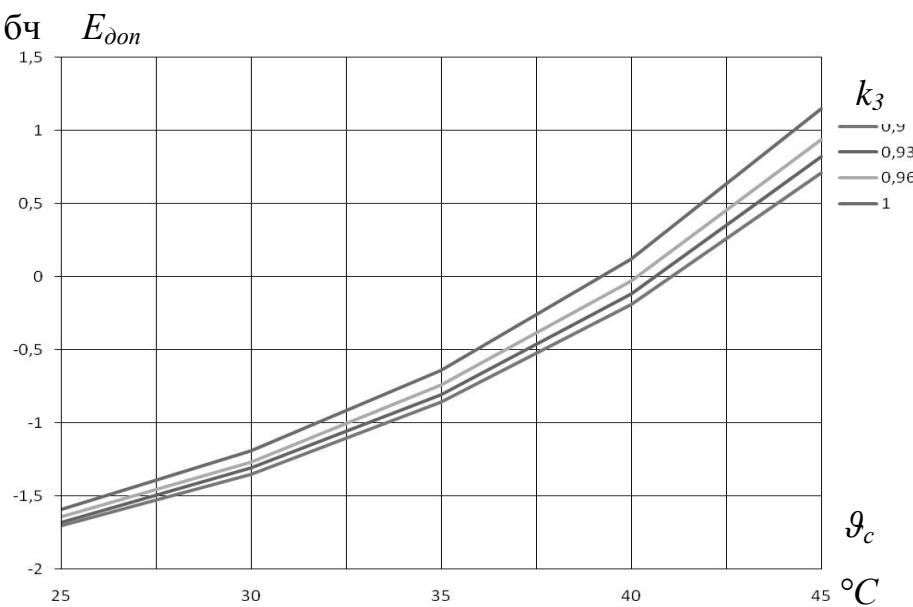
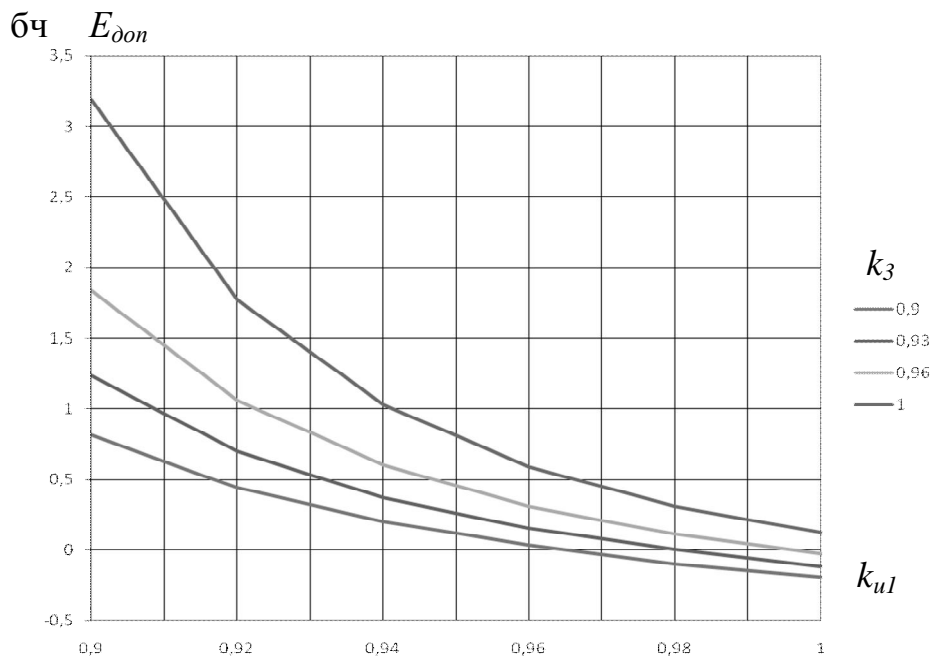


Рис. 4. Залежність $E_{don} = f(k_3)$ при $\kappa_{u1} = 0,9 \div 0,96$.

Исследуем зависимость дополнительного теплового износа изоляции в послепусковой период в функции кратности питающего напряжения, то есть $E_{don} = f(K_{u1})$ при $\kappa_3 = 0,9 \div 1$. Результаты расчетов представляем на рис. 6.

Исследуем зависимость дополнительного теплового износа изоляции в послепусковой период в функции кратности питающего напряжения, то есть $E_{don} = f(K_{u1})$ при $t_{cp} = 30 \div 40^\circ\text{C}$. Результаты расчетов представляем на рис. 7.

Рис. 5. Зависимость $E_{don} = f(g_{cp})$ при $\kappa_3 = 0,9 \div 1$.Рис. 6. Зависимость $E_{don} = f(K_{u1})$ при $\kappa_3 = 0,9 \div 1$

Выводы. Таким образом, дополнительный тепловой износ изоляции асинхронного электродвигателя в послепусковой период является сложной функцией режимных параметров в пусковой и послепусковой периоды: кратности загрузки рабочей машины, температуры окружающей среды, кратности напряжения на зажимах электродвигателя.

Література

1. Овчаров С.В. Аналитическое исследование расхода ресурса изоляции асинхронного электродвигателя в послепусковой период/ С.В. Ов-

чаров, О.А. Стребков // Праці Таврійського державного агротехнологічного університету. – Вип.12. Т. 2 – Мелітополь: ТДАТУ, 2012. – 243 с.

2. Овчаров В.В. Эксплуатационные режимы работы и непрерывная диагностика электрических машин в сельскохозяйственном производстве / Киев: Изд-во УСХА, 1990. – 168 с.

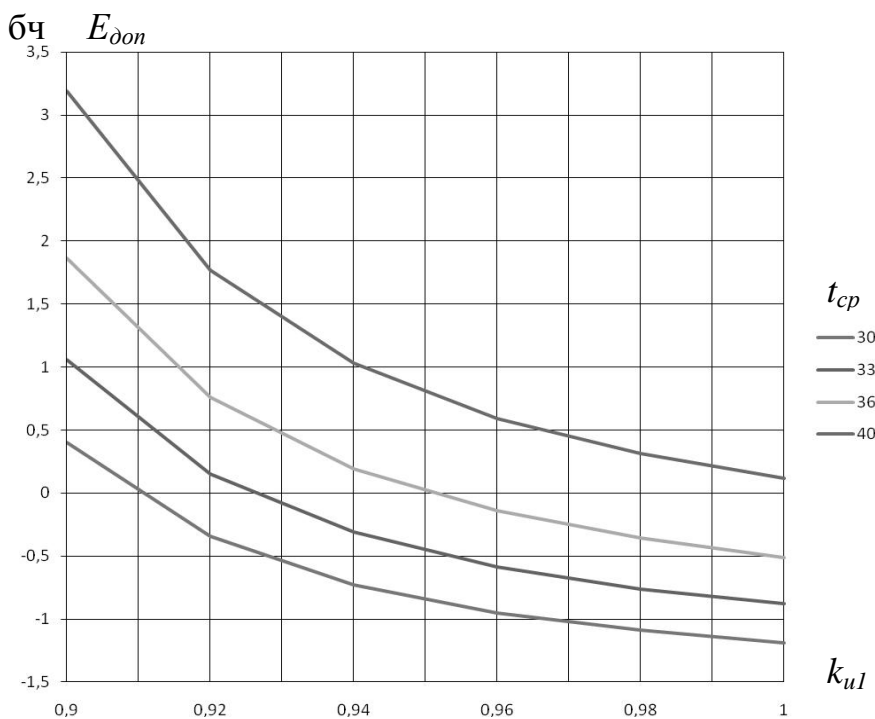


Рис. 7. Залежність $E_{dop} = f(K_{uI})$ при $t_{cp} = 30 \div 40^\circ\text{C}$.

ДОДАТКОВИЙ ТЕПЛОВИЙ ЗНОС ІЗОЛЯЦІЇ АСИНХРОННОГО ЕЛЕКТРОДВИГУНА В ПІСЛЯПУСКОВИЙ ПЕРІОД

С.В. Овчаров, О.О. Стребков

Анотація

Досліджено додатковий тепловий знос ізоляції асинхронного електродвигуна в післяпусковий період в функції режимних параметрів.

THE ADDITIONAL HEAT EXPENSE OF RESOURCE ISOLATION OF ASYNCHRONOUS MOTOR IN AFTERSTARTING PERIOD

S. Ovcharov, A. Strebkov

Summary

The additional heat expense of resource isolation of asynchronous motor in after starting period as a function of operating parameters is researched.